

ISSN 0253-9985
CN 11-4820/TE
CODEN SYYCDL



美国《工程索引》(EI) 收录期刊

《中国科学引文数据库》(CSCD) 收录期刊

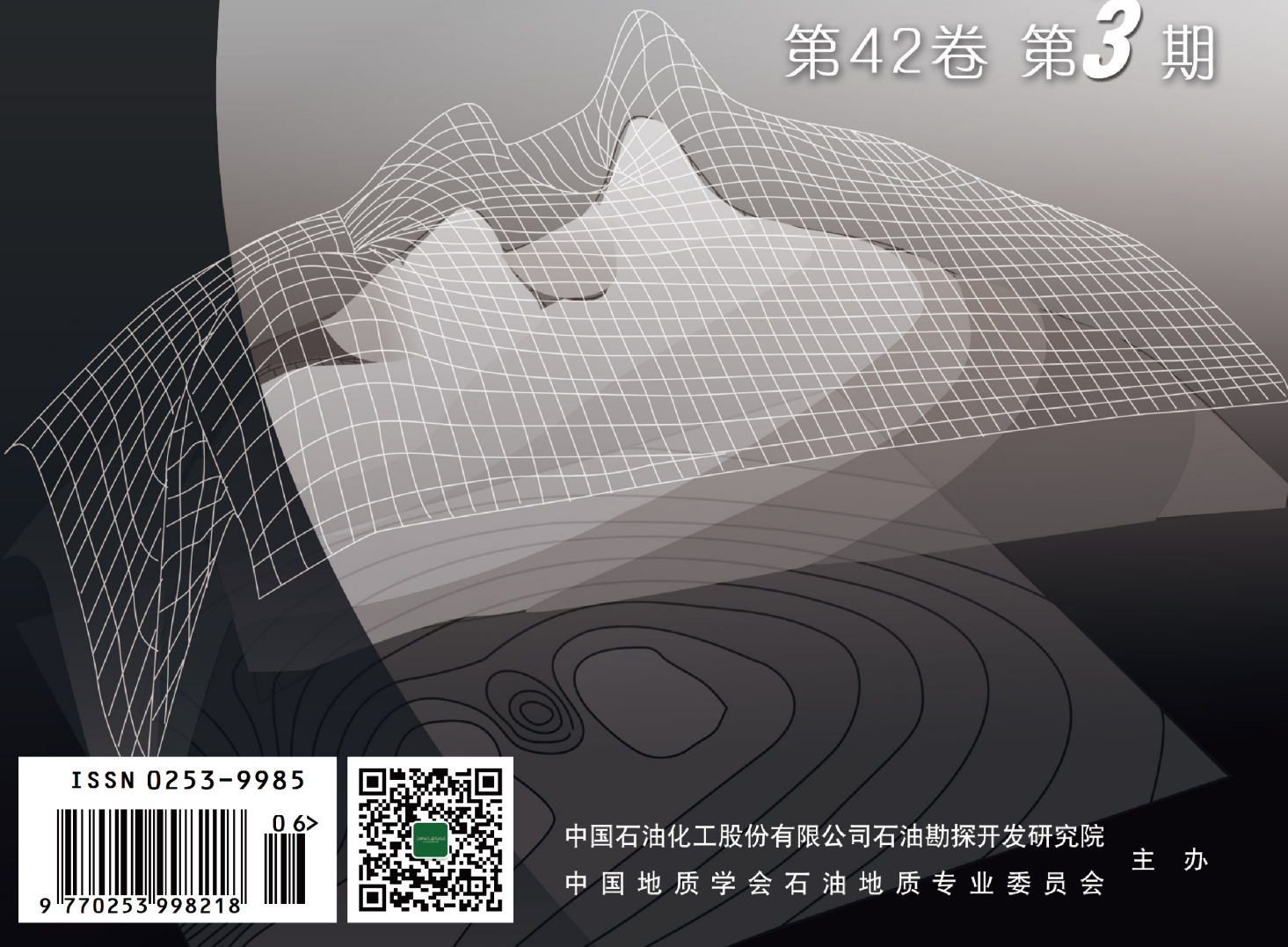
《中文核心期刊要目总览》收录期刊

石油与天然气地质

OIL & GAS GEOLOGY

2021年

第42卷 第3期



ISSN 0253-9985



062

9 770253 998218



中国石油化工股份有限公司石油勘探开发研究院
中国地质学会石油地质专业委员会

主办

石油与天然气地质

(双月刊)

第42卷 第3期

2021年6月

全国优秀科技期刊
中国精品科技期刊
中国石化优秀期刊一等奖
中国国际影响力优秀学术期刊
中国科学引文数据库源期刊
中国科技论文统计源期刊
美国工程索引(EI)源期刊
美国化学文摘(CA)源期刊
美国石油文摘(PA)源期刊
俄罗斯文摘杂志(AJ)源期刊
日本JST数据库源期刊
美国GeoRef数据库源期刊
英国动物学记录(ZR)源期刊

主编 何治亮

副主编 刘春燕

责任编辑 张玉银

专业编辑 张亚雄 张玉银

董立 梁慧

英文编辑 卢雪梅 张晟

目 次

【油气地质】

- 深层-超深层碳酸盐岩储层理论技术进展与攻关方向
..... 何治亮, 马永生, 朱东亚, 段太忠, 耿建华, 张军涛, 丁茜, 钱一雄, 沃玉进, 高志前(533)
超深层碳酸盐岩层系硅质岩储层表征与评价——以塔里木盆地塔深6井为例
..... 刘永立, 尤东华, 李海英, 高利君, 蒋宏, 张卫峰, 鲍芳(547)
塔里木盆地古城台缘带寒武系丘滩体沉积构型特征及储层分布规律
..... 张君龙, 胡明毅, 汪爱云, 张斌, 闫博, 何香香(557)
新疆若羌县红柳沟新元古界平洼沟组原生白云岩特征、沉积环境及年代厘定
..... 钱一雄, 储呈林, 李曰俊, 张庆珍, 李王鹏, 杨鑫(570)
塔里木盆地古城地区古生界垒-扭叠合复合断层-裂缝体模型
..... 何光玉, 曹自成, 姚泽伟, 廖天奇, 林波(587)
鄂尔多斯盆地南缘上奥陶统平凉组浅钻中古岩溶洞穴的发现及其意义
..... 金晓辉, 张军涛, 孙冬胜, 丁茜, 杨佳奇(595)
鄂尔多斯盆地深层寒武系碳酸盐岩储层特征与主控因素
..... 张春林, 姚泾利, 李程善, 邢凤存, 范立勇, 莫午零, 朱秋影, 曾旭(604)
鄂尔多斯盆地北部杭锦旗马家沟组四段碳酸盐岩储层分布规律
..... 张威, 丁晓琪, 李春堂, 祁壮壮(615)
四川盆地中部地区下寒武统龙王庙组混积特征及其地质意义
... 宋金民, 张亚雄, 尹柯惟, 刘树根, 陈宗于, 李智武, 田艳红, 孙玮, 刘颖, 金鑫, 赵玲丽(627)
热液活动对四川盆地中西部地区二叠系茅口组白云岩的影响
..... 黎霆, 诸丹诚, 杨明磊, 李平平, 邹华耀(639)
四川盆地元坝地区茅口组边缘浅滩相储层物理模型 秦贞超, 缪志伟, 魏建新, 狄帮让(652)
鄂西-城口地区“海槽”西侧长兴组-飞仙关组边缘礁滩特征与展布
..... 魏国齐, 杨威, 刘满仓, 武赛军, 莫午零, 金惠, 沈珏红, 郝翠果(661)
黄骅坳陷大港探区下古生界碳酸盐岩潜山差异演化及优质储层成因
..... 程鑫, 周立宏, 操应长, 金凤鸣, 付立新, 李宏军, 楼达, 远光辉(673)

【技术方法】

- 基于溶蚀模拟实验的碳酸盐岩埋藏溶蚀孔洞预测方法——以四川盆地龙王庙组储层为例
..... 沈安江, 乔占峰, 余敏, 蒙绍兴, 张杰, 王鑫(690)
基于原位溶蚀模拟实验的四川盆地二叠系栖霞组-茅口组白云岩孔隙演化
..... 刘诗琦, 陈森然, 刘波, 石开波, 刘钰洋, 郑浩夫, 罗清清(702)
深层海相碳酸盐岩储层地震预测关键技术与效果——以四川盆地震旦系-寒武系与塔里木盆地
奥陶系油气藏为例 林煜, 李相文, 陈康, 张银涛, 臧殿光, 郁智(717)
缝洞型碳酸盐岩油藏储层结构表征方法——以塔里木盆地塔河S67单元奥陶系油藏为例
..... 吕心瑞, 孙建芳, 邬兴威, 魏荷花, 肖凤英, 马翠玉, 宋传真(728)
团簇同位素在白云岩化流体恢复中的应用与局限性 李平平, 王淳, 邹华耀, 余新亚(738)
致密砂岩储层多尺度裂缝地震预测技术——以川西XC地区为例
..... 刘俊州, 韩磊, 时磊, 陈双全, 吕文雅(747)
致密油藏储量升级潜力不确定性评价方法及应用 李军(755)

【综合报道】

- 碳酸盐岩裂缝描述七大难点 卢雪梅(封二)
《石油与天然气地质》来稿须知 (封三)
《石油与天然气地质》第六届编辑委员会 (封四)

CONTENTS

[Petroleum Geology]

Theoretical and technological progress and research direction of deep and ultra-deep carbonate reservoirs	He Zhiliang, Ma Yongsheng, Zhu Dongya, Duan Taizhong, Geng Jianhua, Zhang Juntao, Ding Qian, Qian Yixiong, Wo Yujin, Gao Zhiqian(533)
Characterization and evaluation of chert reservoirs in ultra-deep carbonate rock formations— A case study on Well TS 6 in the Tarim Basin	Liu Yongli, You Donghua, Li Haiying, Gao Lijun, Jiang Hong, Zhang Weifeng, Bao Fang(547)
Sedimentary configuration and reservoir distribution in the Cambrian mound-shoal complexes at platform margins of Gucheng area, Tarim Basin	Zhang Junlong, Hu Mingyi, Wang Aiyun, Zhang Bin, Yan Bo, He Xiangiang(557)
Characteristics, environment and geological dating of primary dolomite in the Neoproterozoic Pingwagou Formation at Hongliugou, Ruoqiang County, Xinjiang	Qian Yixiong, Chu Chenglin, Li Yuejun, Zhang Qingzhen, Li Wangpeng, Yang Xin(570)
Paleozoic horst-twist superimposed fault-fracture body model in Gucheng area of Tarim Basin	He Guangyu, Cao Zicheng, Yao Zewei, Liao Tianqi, Lin Bo(587)
Discovery and significance of the Ordovician paleo-karst caves in shallow drilling in the southern Ordos Basin	Jin Xiaohui, Zhang Juntao, Sun Dongsheng, Ding Qiang, Yang Jiaqi(595)
Characteristics of deep Cambrian carbonate reservoirs in the Ordos Basin and main control factors	Zhang Chunlin, Yao Jingli, Li Chengshan, Xing Fengcun, Fan Liyong, Mo Wuling, Zhu Qiuying, Zeng Xu(604)
Distribution of paleo-karst reservoirs in Ma 4 Member, Hangjinqi area, northern Ordos Basin	Zhang Wei, Ding Xiaoqi, Li Chuntang, Qi Zhuangzhuang(615)
Characteristics and geological significance of mixed sediments in the Lower Cambrian Longwangmiao Formation, central Sichuan Basin	Song Jinmin, Zhang Yaxiong, Yin Kewei, Liu Shugen, Chen Zongyu, Li Zhiwu, Tian Yanhong, Sun Wei, Liu Ying, Jin Xin, Zhao Lingli(627)
Influence of hydrothermal activity on the Maokou Formation dolostone in the central and western Sichuan Basin	Li Ting, Zhu Dancheng, Yang Minglei, Li Pingping, Zou Huayao(639)
Seismic physical model of the Maokou Formation reservoirs of platform-margin shoal in Yuanba area, Sichuan Basin	Qin Zhenchao, Miu Zhiwei, Wei Jianxin, Di Bangrang(652)
Characteristics and distribution of platform-margin reef-shoal reservoirs in Changxing-Feixianguan Formations to the west of ocean trough, E'xi-Chengkou area	Wei Guoqi, Yang Wei, Liu Mancang, Wu Saijun, Mo Wuling, Jin Hui, Shen Juehong, Hao Cuiguo(661)
Differential evolution and origin of high-quality reservoirs in the Lower Paleozoic carbonate buried hills in Dagang prospecting area, Huanghua Depression	Cheng Xin, Zhou Lihong, Cao Yingchang, Jin Fengming, Fu Lixin, Li Hongjun, Lou Da, Yuan Guanghui(673)

[Methods and Technologies]

Prediction of burial dissolved vugs in carbonates based on dissolution simulation : A case study of the Longwangmiao Formation dolostone reservoirs, Sichuan Basin	Shen Anjiang, Qiao Zhanfeng, She Min, Meng Shaoxing, Zhang Jie, Wang Xin(690)
Pore evolution of the Permian Qixia-Maokou Formations dolomite in Sichuan Basin based on in-situ dissolution simulation experiment	Liu Shiqi, Chen Senran, Liu Bo, Shi Kaibo, Liu Yuyang, Zheng Haofu, Luo Qingqing(702)
Key seismic techniques for predicting deep marine carbonate reservoirs and the effect analysis : A case study on the Sinian-Cambrian reservoirs in the Sichuan Basin and the Ordovician reservoirs in the Tarim Basin	Lin Yu, Li Xiangwen, Chen Kang, Zhang Yintao, Zang Dianguang, Yu Zhi(717)
Internal architecture characterization of fractured-vuggy carbonate reservoirs : A case study on the Ordovician reservoirs, Tahe Unit S67, Tarim Basin	Lyu Xinrui, Sun Jianfang, Wu Xingwei, Wei Hehua, Xiao Fengying, Ma Cuiyu, Song Chuanzhen(728)
Application of clumped isotopes to restoration of dolomitizing fluids and its limitations	Li Pingping, Wang Chun, Zou Huayao, Yu Xinya(738)
Seismic prediction of tight sandstone reservoir fractures in XC area, western Sichuan Basin	Liu Junzhou, Han Lei, Shi Lei, Chen Shuangquan, Lyu Wenya(747)
Non-deterministic method for tight oil reserves upgrade potential assessment and its application	Li Jun(755)